

# Maisel Yan Kulakçık Köreltme Sisteminin Optimalitesi

## On The Optimality of Maisel Sidelobe Blanking System

Osman COŞKUN, Çağatay CANDAN  
 Elektrik ve Elektronik Mühendisliği Bölümü  
 Orta Doğu Teknik Üniversitesi  
 Ankara, Türkiye  
 {e170834,ccandan}@metu.edu.tr

**Özetçe** —Bu çalışmada Swerling-0, Swerling-1 ve Swerling-3 hedefler için optimum yan kulakçık köreltme (YKK) sistemi önerilmekte ve önerilen yeni sezicinin klasik Maisel YKK yapısı ile performansı kıyaslanmaktadır. Optimum YKK sezici gürültüsinyal (SNR) ve karıştırıcı-gürültü (JNR) oranlarına bağlı olup, birçok uygulamada gerçekleşmesi açısından pratik olamayabilir. Bu çalışmanın amacı Maisel YKK yapısı ile hedef ve karıştırıcı ile ilgili ilave bilgi kullanan optimum YKK sistemini kıyaslamak ve aralarında performans açısından boşluğu tespit etmektedir. Sayısal sonuçlar Maisel SLB yapısı ile optimum sezicinin performanslarının pratik konular altında yakın olduğunu göstermektedir.

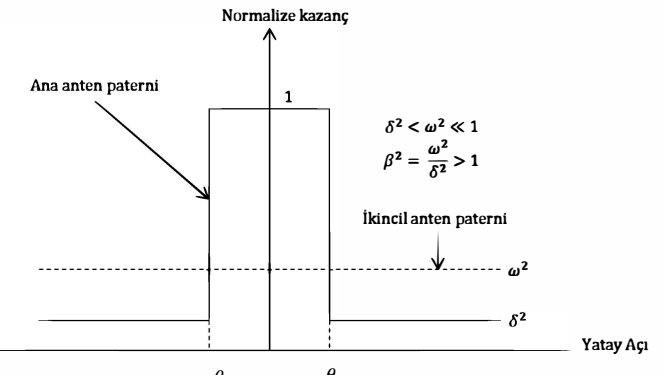
**Anahtar Kelimeler**—*Maisel yan kulakçık köreltme (YKK) sistemi, optimum YKK sezici, radar sinyal işleme.*

**Abstract**—We present an optimal sidelobe blinder (SLB) detector for Swerling-0, Swerling-1 and Swerling-3 targets and compare the performances of the suggested detector with the classical Maisel SLB structure. The optimal SLB detector depends on the signal to noise ratio (SNR) and jammer to noise ratio (JNR) values and may not be practical for implementation in many applications. The goal of this work is to compare the Maisel structure with the optimal detector which utilizes additional information on target and jammer and assesses the performance gap between two systems. Numerical results show that the performance of Maisel SLB structure is close to the optimal detector under very practical conditions.

**Keywords**—*Maisel sidelobe blanking (SLB) system, optimum SLB detector, radar signal processing.*

### I. GİRİŞ

Geleneksel radar sistemlerinde anten yan kulakçılarından alınan girişim sinyalleri yanlış hedef algılamaya ve hedef takip performansında olumsuz etkilere sebep olabilmektedir. Yan kulakçıklardan gelen sinyallerin olumsuz etkilerini gidermek amacıyla yan kulakçık köreltme (YKK) mimarisini Maisel [1] tarafından önerilmiştir. Maisel yapısında iki alıcı kanal kullanılmaktadır. Birinci kanal, ana hüzmede yüksek anten kazancı ve yan huzmelerde düşük anten kazanca sahip olan ana kanaldır. Yardımcı kanal olarak adlandırılan ikinci

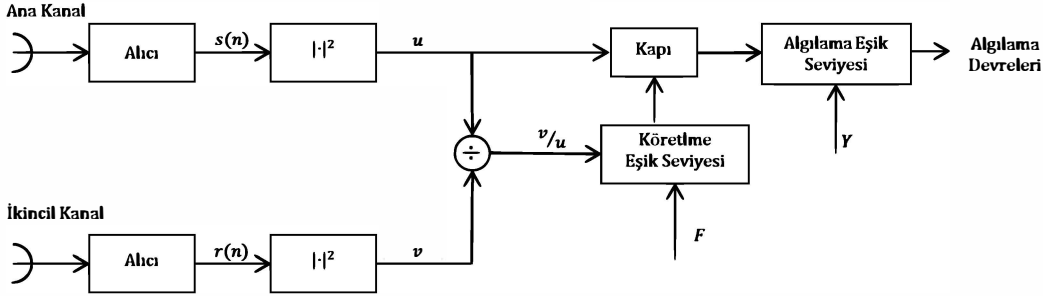


Şekil 1. YKK sistemindeki ana ve yardımcı antenlerin kazanç paternleri

kanal ise yönlendirilmemiş anten paternine sahip olup Şekil 1'de gösterildiği gibi anten kazancı ana antenin yan hüzme kazancından biraz büyük olarak seçilmektedir.

Yardımcı kanal çıkışının ( $v$ ) ana kanal çıkışına ( $u$ )'a oranı,  $(v/u)$  belirlenmiş bir eşik seviyesinden  $F$  büyük olursa köreltme sinyali oluşturulmaktadır (Bkz. Şekil 2).  $(v/u)$  oranı  $F$ 'den büyük olduğu durumda ana kanal köretilmemektedir. Hatalı olarak ana kanalın köretilmesi hedef algılama olasılığında kayba sebep olmaktadır. Şekil 1'den görülebileceği gibi eşyönlü anten kazancı ( $\omega^2$ ), iyi bir çalışma için  $\omega^2/\delta^2 = \beta^2 \geq 1$  koşulunu sağlamalıdır. Bu koşul, şu şekilde doğrulanabilir: Ana kanalda yan kulakçıklardan alınan girişim sinyali  $u$ , ikinci kanalda  $\beta^2 u$  çıkışı oluşturmaktadır. Bu sinyalin köretilmesi için  $\beta^2 \geq F$  koşulunun sağlanması gerekliliği kolayca anlaşılabılır [1]. Benzer şekilde ana kanalda alınan sinyalin köretilmemesi için  $\omega^2 \leq F$  koşulunun sağlanması gerekmektedir [1].

Klasik YKK sistemi literatürde detaylıca çalışılmıştır. [2]'de Farina klasik SLB sistemi detaylı bir şekilde incelemiştir, yan kulakçıkta karıştırıcıyı köreltme olasılığı ( $P_b$ ), ana huzmedeki hedefi köreltme olasılığı  $P_{tb}$  ve yan kulakçıkta yer alan karıştırıcıdan kaynaklanan yanlış hedef tespiti  $P_{ft}$  olasılığını Swerling-0 hedef modeli için çıkartmıştır. [3]'de Farina ve Gini bahse konu olasılık hesaplamalarını Swerling-1 hedefler için genişletmiştir.



Şekil 2. Klasik YKK sisteminin temel çalışma şeması

Klasik YKK modeli yaygın bir şekilde kabul edilmiş olup bir çok sisteme kullanılmaktadır. Bununla birlikte, bilebildiğimiz kadarıyla klasik YKK yapısının herhangi bir kriterde göre optimum özelliği literatürde verilmemiştir. [4]'de Neyman-Pearson olabilirlik oranından çıkartılan YKK sistemlerinin gerçek zamanlı olarak uygulanmasının zor olduğu ifade edilmiştir. Buna ilave olarak Maisel yapısı basit bir gerçekleştirmeye ile optimum YKK sistemleri yerine önerilmiş ve mükemmel sonuçlar elde edilmiştir.

Bu çalışmada, Optimum YKK sistemleri Swerling-0, Swerling-1 ve Swerling-3 hedefleri için tartışılmış ve optimal sezici ile Maisel yapısının performansları farklı çalışma durumlarında karşılaştırılmıştır. Sayısal sonuçlar, klasik YKK sisteminin performansının pratik uygulama koşullarında performans olarak optimum sisteme yakın olduğunu göstermektedir. Sonuç olarak, mevcut çalışma Maisel yapısının iyi performansının gereklilikleri olarak değerlendirilebilir.

## II. SWERLING-1 HEDEFLERİ İÇİN ÖNERİLEN YAN KULAKÇIK KÖRELTME SİSTEMİ

Ana ve yardımcı kanalların karmaşık değerli uyumlu sözgeç çıkışları sırasıyla  $\tilde{s}$  ve  $\tilde{r}$  ile ifade etmiş olalım. Elimizde seçmek için üç tane hipotez bulunmaktadır: Sadece gürültü  $H_0$ , hedefin ana huzmede olduğu yan huzmede karıştırıcının olmadığı durum  $H_1$ , karıştırıcının yan huzmede olduğu hedefin ana huzmede olmadığı durum  $H_2$ .

$$H_0 : \begin{cases} \tilde{s} = \tilde{w}_s \\ \tilde{r} = \tilde{w}_r \end{cases}, \quad H_1 : \begin{cases} \tilde{s} = \tilde{a} + \tilde{w}_s \\ \tilde{r} = \omega \tilde{a} + \tilde{w}_r \end{cases}, \quad H_2 : \begin{cases} \tilde{s} = \tilde{c} + \tilde{w}_s \\ \tilde{r} = \beta \tilde{c} + \tilde{w}_r \end{cases} \quad (1)$$

Denklem (1)'de,  $\tilde{a} \sim \mathcal{CN}(0, \sigma_a^2)$  ve  $\tilde{c} \sim \mathcal{CN}(0, \sigma_c^2)$  Swerling-1 hedef modelini [5],  $\tilde{w}_s \sim \mathcal{CN}(0, \sigma^2)$  ve  $\tilde{w}_r \sim \mathcal{CN}(0, \sigma^2)$  ise ana ve yardımcı kanaldaki alıcı gürültülerini sırasıyla göstermektedir. Burada,  $\mathcal{CN}(0, \sigma^2)$  ortalaması sıfır ve varyansı  $\sigma^2$  olan dairesel simetrik karmaşık Gauss rasgele değişkeni göstermektedir. Ayrıca karıştırıcı ile yan huzmedeki girişim hedefi kastedilmektedir.

Denklem (1)'de gözüklenen  $\omega$  ve  $\beta$  parametreleri sırasıyla ana antenin yan kulakçık kazancını ve yardımcı antenin kazancını göstermektedir (Bkz.Şekil 1). Sinyal-gürültü (SNR) ve karıştırıcı gürültü (JNR) oranları aşağıdaki gibi tanımlanmıştır:

$$\text{SNR} = \frac{E[|\tilde{a}|^2]}{E[|\tilde{w}_s|^2]} = \frac{\sigma_a^2}{\sigma^2} = \gamma_s,$$

$$\text{JNR} = \frac{E[|\tilde{c}|^2]}{E[|\tilde{w}_s|^2]} = \frac{\sigma_c^2}{\sigma^2} = \gamma_j.$$

$\tilde{r}$  ve  $\tilde{s}$  rasgele değişkenleri ilintiliidir. Farklı hipotezler altındaki ilinti şu şekilde tanımlanmaktadır:  $E[\tilde{r}\tilde{s}^*; H_1] = \omega\sigma_a^2$  and  $E[\tilde{r}\tilde{s}^*; H_2] = \beta\sigma_c^2$ .  $\mathbf{x} = [\tilde{s} \quad \tilde{r}]^T$  vektörü iki boyutlu ve ilinti matrisi  $\mathbf{C}_i$  aşağıdaki gibi tanımlanan Gauss rasgele vektörü olarak önerilmektedir.

$$\mathbf{C}_i = E[\mathbf{x}\mathbf{x}^H; H_i] = \begin{bmatrix} E[|\tilde{s}|^2; H_i] & E[\tilde{s}\tilde{r}^*; H_i] \\ E[\tilde{s}^*\tilde{r}; H_i] & E[|\tilde{r}|^2; H_i] \end{bmatrix}, \quad i = \{1, 2\}$$

$H_i$  hipotezi altında  $\mathbf{x}$ 'ün olasılık yoğunluk fonksiyonu (pdf)

$$f_{\mathbf{x}}(\mathbf{x}; H_i) = \frac{1}{\pi^2 |\mathbf{C}_i|^2} \exp(-\mathbf{x}^H \mathbf{C}_i^{-1} \mathbf{x}), \quad i = \{1, 2\}$$

şeklinde oluşmakta olup  $\mathbf{C}_1$  ve  $\mathbf{C}_2$  matrisleri aşağıdaki gibi verilmektedir:

$$\mathbf{C}_1 = \sigma^2 \begin{bmatrix} \gamma_s + 1 & \omega\gamma_s \\ \omega\gamma_s & \omega^2\gamma_s + 1 \end{bmatrix}, \quad (2a)$$

$$\mathbf{C}_2 = \sigma^2 \begin{bmatrix} \gamma_j + 1 & \beta\gamma_j \\ \beta\gamma_j & \beta^2\gamma_j + 1 \end{bmatrix}. \quad (2b)$$

$H_1$  ve  $H_2$  hipotezlerini ayırmak amacıyla olabilirlik oran testi (LRT) aşağıdaki gibi yazılabilir:

$$\Lambda(\tilde{r}, \tilde{s}) = \frac{f_{\mathbf{x}}(\mathbf{x}; H_2)}{f_{\mathbf{x}}(\mathbf{x}; H_1)} \frac{H_2}{H_1} \gtrless \zeta. \quad (3)$$

$\Lambda(\tilde{r}, \tilde{s})$  teriminin logaritması alınıp verilere bağlı olmayan terimler ihmal edilirse, aşağıdaki teste ulaşılmaktadır [6]:

$$d = \mathbf{x}^H (\mathbf{C}_1^{-1} - \mathbf{C}_2^{-1}) \mathbf{x} \gtrless \frac{H_2}{H_1} \eta \quad (4)$$

Bulunan test  $d$  karmaşık Gauss rasgele değişkenlerin karesel formundan oluşmaktadır.

$\mathbf{x}^H \mathbf{Q} \mathbf{x}$  ifadesinin istatistiği birçok haberleşme uygulamalarında kullanılan önemli bir mevzudur [7]–[10]. [7] ve [9]'daki notasyon kullanılarak  $\mathbf{Q}$  matrisi aşağıdaki gibi tanımlanır:

$$\mathbf{Q} \triangleq \sigma^2 (\mathbf{C}_1^{-1} - \mathbf{C}_2^{-1}) = \begin{bmatrix} A & C \\ C & B \end{bmatrix}. \quad (5)$$

**Q** matrisinin elemanları ortalama cebir bilgisi ile

$$A = \frac{\gamma_s \omega^2 + 1}{\gamma_s \omega^2 + \gamma_s + 1} - \frac{\gamma_j \beta^2 + 1}{\gamma_j \beta^2 + \gamma_j + 1}, \quad (6a)$$

$$B = \frac{\gamma_s + 1}{\gamma_s \omega^2 + \gamma_s + 1} - \frac{\gamma_j + 1}{\gamma_j \beta^2 + \gamma_j + 1}, \quad (6b)$$

$$C = -\frac{\gamma_s \omega}{\gamma_s \omega^2 + \gamma_s + 1} + \frac{\beta \gamma_j}{\gamma_j \beta^2 + \gamma_j + 1} \quad (6c)$$

şeklinde bulunur. Denklem (4)'de yer alan karar istatistiği  $d$  aşağıdaki gibi gösterilebilir:

$$d = \mathbf{x}^H \mathbf{Q} \mathbf{x} = A|\tilde{s}|^2 + B|\tilde{r}|^2 + 2C\operatorname{Re}(\tilde{r}\tilde{s}^*) \quad (7)$$

ve  $d$ 'nin pdf'si [7], [8]:

$$f_d(d) = \begin{cases} \frac{ab}{a+b} \exp(-ad) & d \geq 0 \\ \frac{ab}{a+b} \exp(bd) & d < 0 \end{cases} \quad (8)$$

şeklinde yazılabilir. (8)'de yer alan  $a$  ve  $b$  parametreleri  $\mu_{\tilde{r}\tilde{s}}$  ve  $r$ 'ın biraz daha karmaşık fonksyonu olarak aşağıdaki gibi tanımlanmıştır [9]:

$$a = \sqrt{r^2 + \frac{1}{4(\mu_{\tilde{r}\tilde{r}}\mu_{\tilde{s}\tilde{s}} - |\mu_{\tilde{s}\tilde{r}}|^2)(|C|^2 - AB)}} - r \quad (9a)$$

$$b = \sqrt{r^2 + \frac{1}{4(\mu_{\tilde{r}\tilde{r}}\mu_{\tilde{s}\tilde{s}} - |\mu_{\tilde{s}\tilde{r}}|^2)(|C|^2 - AB)}} + r. \quad (9b)$$

Burada  $\mu_{\tilde{r}\tilde{s}} = \frac{1}{2}E[\tilde{r}\tilde{s}^*]$  ve

$$r = \frac{A\mu_{\tilde{r}\tilde{r}} + B\mu_{\tilde{s}\tilde{s}} + C^*\mu_{\tilde{s}\tilde{r}}^* + C\mu_{\tilde{r}\tilde{s}}}{4(\mu_{\tilde{r}\tilde{r}}\mu_{\tilde{s}\tilde{s}} - |\mu_{\tilde{s}\tilde{r}}|^2)(|C|^2 - AB)}$$

şeklinde tanımlanmaktadır.

**Eşik Seviyesi Hesaplaması:** Neyman-Pearson test için gerekli olan eşik seviyesi  $\eta$ , (8)'den kolayca hesaplanabilir. Verilen bir hedef köreltme olasılığı için  $P_{tb}$  ( $H_1$  doğrultuken  $H_2$  kararını verme),  $P_{tb} = Pr(H_2|H_1) = \int_{\eta}^{\infty} f_{d|H_1}(x)dx$  ifadesinde geçen  $\eta$  aşağıdaki gibi bulunabilir:

$$\eta = \begin{cases} -\frac{1}{a} \ln \left[ \left( \frac{a+b}{b} \right) P_{tb} \right] & P_{tb} \geq \frac{b}{a+b} \\ \frac{1}{b} \ln \left[ -\left( \frac{a+b}{a} \right) (P_{tb} - 1) \right] & P_{tb} \leq \frac{b}{a+b} \end{cases} \quad (10)$$

**Köreltme Olasılığı Hesaplaması:**  $\eta$  eşik seviyesi kullanılarak yan huzmede yer alan karıştırıcıyı köreltme olasılığı  $P_b = Pr(H_2|H_2) = \int_{\eta}^{\infty} f_{d|H_2}(x)dx$ , aşağıdaki gibi bulunabilir:

$$P_b = \begin{cases} \frac{b}{a+b} \exp(-a\eta) & \eta \geq 0 \\ \frac{a}{a+b} \left( 1 - \exp(b\eta) \right) + \frac{b}{a+b} & \eta \leq 0 \end{cases} \quad (11)$$

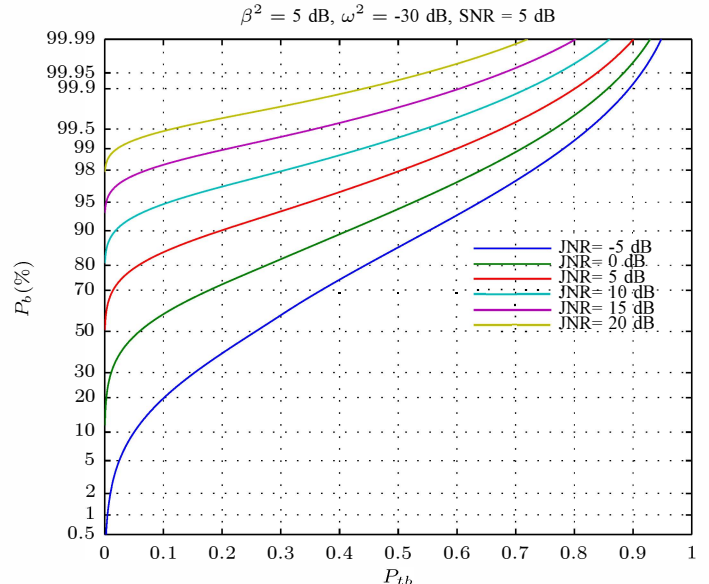
Bu durumda bahsedilen YKK sistemi ile ilgili temel çıkarımları tamamlamış olmaktadır.

**Yorumlar:** Bu bölümde önerilen sezimleyicinin sayısal olarak kritiği yapılmakta ve gerçeklemesi ile ilgili pratik durumlar tartışılmaktadır. Swerling-1 hedefler için (4)'de

önerilen optimum test SNR ve JNR ile birlikte birçok parametreye bağlıdır. Dolayısıyla Neyman-Pearson özelliği ile önerilen testin optimum olması hedef ve karıştırıcıya özel parametrelerin kullanılması ile sağlanmaktadır. Fakat klasik Maisel YKK sistemlerinde bu bilgiler kullanılmamaktadır. Bir diğer ifade ile önerilen sezimleyicinin performans üstünlüğünün ilave bu bilgilerin kullanılmasına bağlanabileceğinin değerlendirilmektedir. Bir çok uygulamada, SNR ve JNR değerlerinin güvenilir bir şekilde kestirilmesi mümkün olamakta ve klasik Maisel YKK sistemlerinin kullanılması kaçınılmaz olmaktadır. Bununla birlikte, geleneksel yapıda kullanılanmayan ilave bilgiye rağmen, Maisel yapısı ile optimum yapı arasındaki performans farkı bu çalışmada incelenmektedir.

Müteakip bölümlerde Maisel yapısı ile optimum sezimleyicinin sayısal olarak kıyaslanması yapılmıştır. İki sistemde eşdeğer antenlerin kullanıldığı ve aynı  $\omega^2$  ile  $\beta^2$  değerlerine sahip olduğu varsayılmıştır. İki sezimleyici de aynı hedef köreltme (yanlış köreltme) olasılığını sağlamak için ayarlanmıştır. Bir kez daha ifade etmek isteriz ki optimum sezimleyici SNR ve JNR değerlerine bağlı olmakta ve eşik seviyesi hesaplamalarında bu iki parametre kullanılmaktadır.

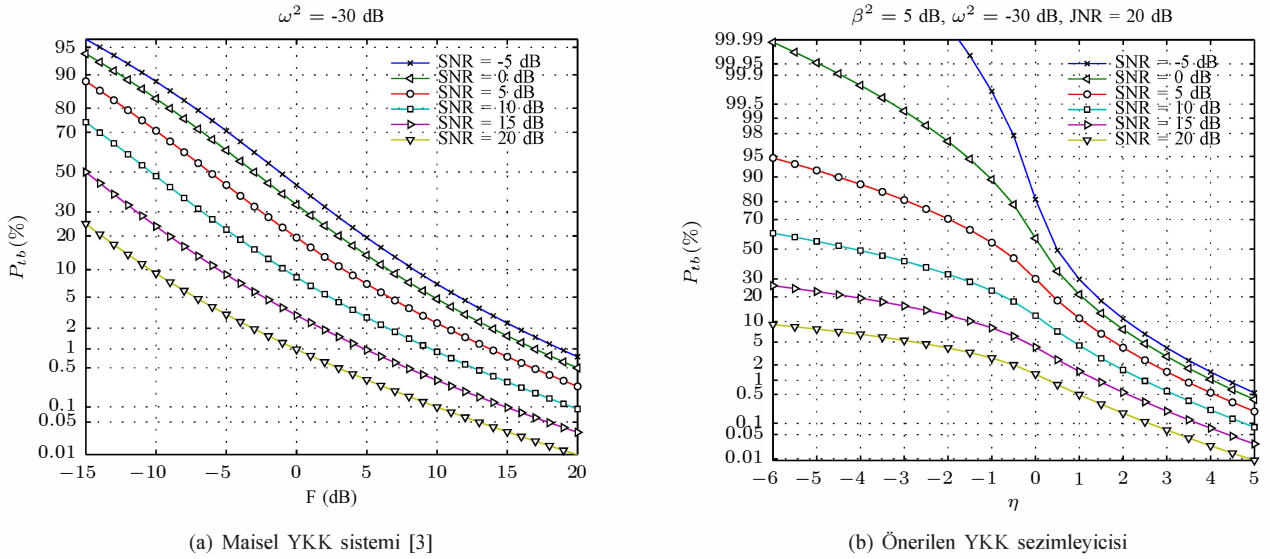
Şekil 3, önerilen sezimleyicinin alıcı işletim karakteristğini (ROC) göstermektedir. ROC grafiği SNR'ı 5 dB olan bir hedef için ve farklı JNR değerleri ile birlikte farklı  $P_{tb}$  ve  $P_b$  olasılıkları için verilmiştir. Bu grafikte  $P_b$ 'nin JNR'a göre bağılılığının JNR > 15 dB olduğu durumlarda zayıf olduğu görülmektedir.



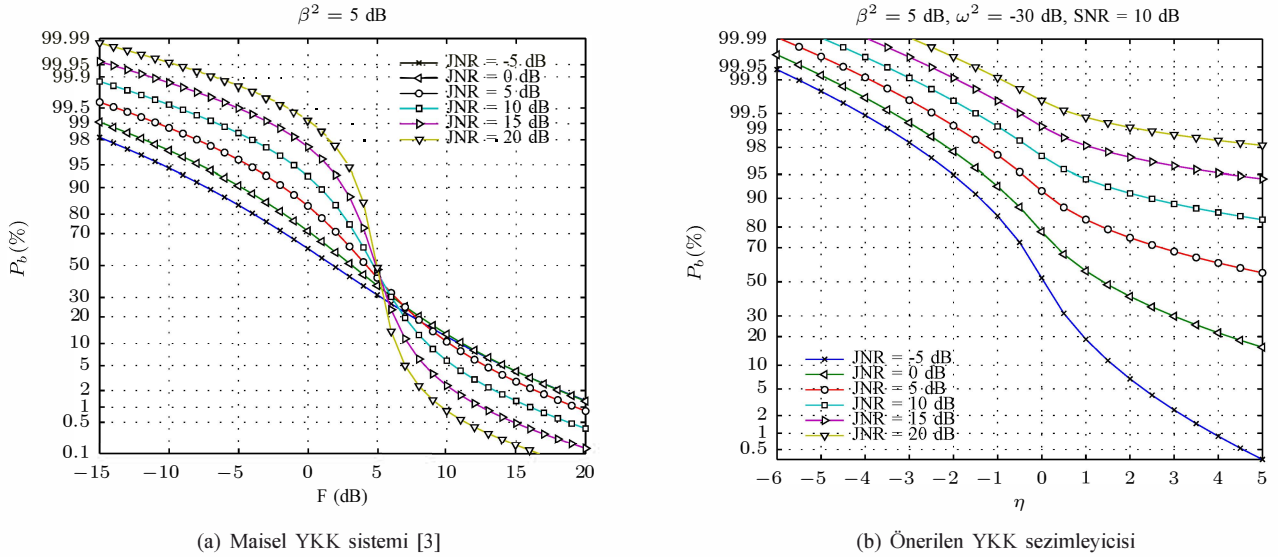
Şekil 3. Swerling-1 hedefler için karıştırıcı köreltme olasılığının  $P_b$  hedef köreltme olasılığına  $P_{tb}$  göre değişimi.

### III. SWERLING-1 HEDEFLER İÇİN MAISEL YKK YAPISI İLE OPTIMUM YKK SEZIMLEYICISININ SAYISAL KİYASLAMASI

**Verilen  $P_{tb}$  ve SNR değerleri için eşik seviyesi belirleme:** Yan huzmede karıştırıcı yok iken ana huzmedeki hedefin köreltilmesi herhangi bir YKK sistemi için istenilmeyen bir olaydır. Şekil 4, verilen bir  $P_{tb}$  ve SNR değeri için her iki



Şekil 4. Swerling-1 hedefler için hedef körelme olasılığının  $P_{tb}$   $F$  ve  $\eta$ 'ya göre değişimi.



Şekil 5. Swerling-1 hedefler için karıştırıcıyı körelme olasılığının ( $P_b$ )  $F$  ve  $\eta$ 'ya göre değişimi.

sezimleyicinin eşik seviyelerinin belirlenmesinde kullanılabilir-ektir. Yan bir uygulama bilgisi olarak eşik seviyesi bulunurken en zayıf güce sahip ve eşik seviyesini zorlukla geçen hedeflerin dikkate alınmasının daha doğru olacağı değerlendirilmektedir. Bu sekilden yüksek SNR değerine sahip hedeflerin köreltilme olasılığının düşük olduğu görülmektedir. Ayrıca Şekil 4(b)'de,  $Q$  matrisi oluşturulurken  $JNR = 20$  dB değeri kullanılmıştır.

**$P_b$ 'nin JNR'a göre değişimi:** Yan kulakçıkta yer alan bir karıştırıcının köreltilmesi herhangi bir YKK sistemi için istenen bir olaydır. Şekil 5, farklı JNR değerleri için bu olasılığın eşik seviyesine göre değişimini göstermektedir. Bu şekil ile Şekil 4'ün sabit istenmeyen yanlış körelme olasılığında her iki sistemin körelme performanslarının incelenmesi amacıyla kullanılabileceği değerlendirilmektedir.

Şekil 5(a)'da  $F$  değerlerinin  $\beta^2 = 5$  dB'den büyük olduğu durumlarda JNR değerinden bağımsız olarak, körelme olasılığında çok büyük miktarda kaybin oluştuğu görülmekte-

dir.  $F < \beta^2$  koşulunun çiğnenmesi nedeniyle bu durum beklenmektedir. Maisel YKK sisteminden farklı olarak optimum sezicide  $P_b$ 'nin  $\eta$  ve JNR'a göre değişiminin daha düzgün olduğu görülmektedir.

**$P_b$ 'nin verilen bir  $P_{tb}$  için JNR'a göre değişimi:** Şekil 6(a) iki sistemin performansını sabit bir hedef körelme olasılığında kıyaslamaktadır. Hedef körelme olasılığı 0.01 olarak belirlenmiş ve  $\beta^2$  değeri 5 dB olarak seçilmiştir. Maisel sezimleyici için eşik seviyesi değerleri farklı SNR değerleri için şekilde gösterilmiştir. (Maisel SLB sisteminin istatistiği [3]'de verilmiştir.) Burada optimum YKK sezimleyicisi için eşik seviyesi değeri JNR'a bağlı olduğundan eşik seviyesi Şekil 6(a)'daki her noktada değişmektedir.

Şekil 6(a)'dan Maisel yapısı ile optimum sezimleyici arasındaki performans farkının SNR = 15 dB olduğunda çok yüksek olduğu görülmektedir. Bu durumda Maisel eşik seviyesi olan  $F$ ,  $\beta^2$  değerine yakındır. Diğer durumlarda performans farkı

nispeten daha azdır. Genel olarak Maisel eşik seviyesi  $F$  değerinin  $\beta^2$ 'ye göre azaldığında performans farkının iyice azaldığı görülmektedir.

Şekil 6(b), benzer kıyaslamayı daha yüksek hedef köreltme olasılığı  $P_{tb} = 0.1$  için göstermektedir. Verilen bir  $P_{tb}$  değeri için  $F \approx \beta^2$  durumu daha düşük SNR değerlerinde oluşmaktadır. Genel olarak  $F \ll \beta^2$  koşulu sağlandığında Maisel yapısı ile optimum sezimleyicinin performanslarının çok benzer olduğu söylenebilir.

#### IV. DIĞER SWERLING HEDEF MODELLERİ İÇİN OPTIMUM YKK SİSTEMLERİ

Denklem (1)'de verilen hedef ve karıştırıcının karmaşık dönen sinyalleri  $\tilde{a}$  ve  $\tilde{c}$ , Swerling-0 hedef modelinde büyülükleri sabit ve bilinen olarak kabul edilmekte, fazları ise  $(0, 2\pi)$  arasında birörnek olacak şekilde dağılıma sahip olduğu varsayılmaktadır.

Swerling-1 hedef modelinde olduğu gibi  $\tilde{r}$  ve  $\tilde{s}$  ilintiliidir. Farklı hipotezler altında ilinti şu şekilde bulunur:  $E[\tilde{r}\tilde{s}^*; H_1] = \omega|\tilde{a}|^2$  and  $E[\tilde{r}\tilde{s}^*; H_2] = \beta|\tilde{c}|^2$ . LRT'in bulunması için  $\tilde{r}$  ve  $\tilde{s}$ 'in farklı hipotezler altında birleşik pfd'lerinin bulunması gerekmektedir. Birleşik pdf'lerin bulunması için ilk aşamada fazlarının bilindiği varsayıımı ile koşullu pdf'ler bulunur, ardından faz üzerinde integrali alınır. Sonuç olarak LRT aşağıdaki gibi bulunur:

$$d_0 = \frac{I_0\left(\frac{2|\tilde{c}|}{\sigma^2}|\tilde{s} + \beta\tilde{r}|\right)}{I_0\left(\frac{2|\tilde{a}|}{\sigma^2}|\tilde{s} + \omega\tilde{r}|\right)} \frac{H_2}{H_1} \gtrless \eta_0. \quad (12)$$

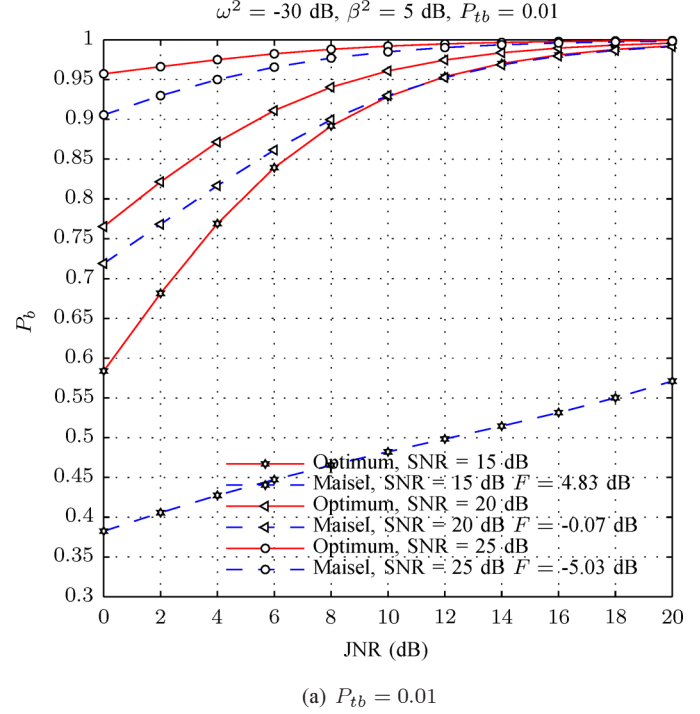
Burada  $I_0(\cdot)$  birinci çeşit modifiye edilmiş Bessel fonksiyonunu göstermektedir.

Denklem (12) ile verilen test Swerling-0 hedefler için optimumdur. Bu testin ( $d_0$ ) istatistiği analistik olarak bulunması zordur. Bu sebeple performans değerlendirmesi için Monte Carlo yöntemi uygulanmıştır. Eşik seviyesi ( $\eta_0$ )  $H_1$  hipotezinde sinyal üretilip, ardından belirlenen yanlış köreltme olasılığının ( $P_{tb}$ ) aranması ile bulunmaktadır.

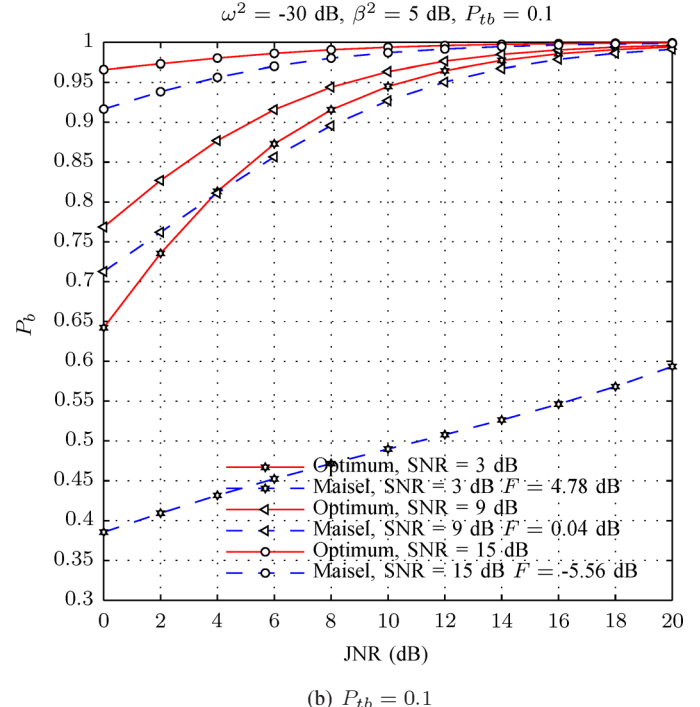
Şekil 7(a), yanlış köreltme olasılığı  $P_{tb}$ 'nin 0.01 olarak seçildiği durumda  $P_b$  kıyaslamasını göstermektedir. Buna ilişkin eşik seviyesi değerleri grafikte gösterilmiştir. Swerling-1 modelinde olduğu gibi Maisel yapısı eşik seviyesi olan  $F$ 'in  $\beta^2$ 'dan yeterince düşük olmadığı durumda Maisel yapısı oldukça kötü performans sergilemektedir. Ayrıca performans farkının JNR arttıkça azaldığı görülmektedir.

Şekil 7(b), yanlış köreltme olasılığının daha büyük değere  $P_{tb} = 0.05$  ayarlandığı durumda benzer kıyaslamayı göstermektedir. Şekil 6 ile ilgili yapılan yorumlar hala geçerliliğini korumaktadır.

Ayrıca optimum YKK sisteminin yüksek köreltme olasılığını Swerling-0 durumuna göre nispeten düşük JNR değerlerinde yakaladığı görülmektedir. Bu durum seçilen hedef modelindeki hedef büyülüğünün bilinen kabul edilmesinden dolayı beklenmektedir. Swerling-3 hedef modeli Swerling-1 modeline (taramadan taramaya değişim) hedef sinyal büyülüğünün dağılımı haricinde benzemektedir.  $\tilde{a}$ 'nın büyülüklüğü



(a)  $P_{tb} = 0.01$



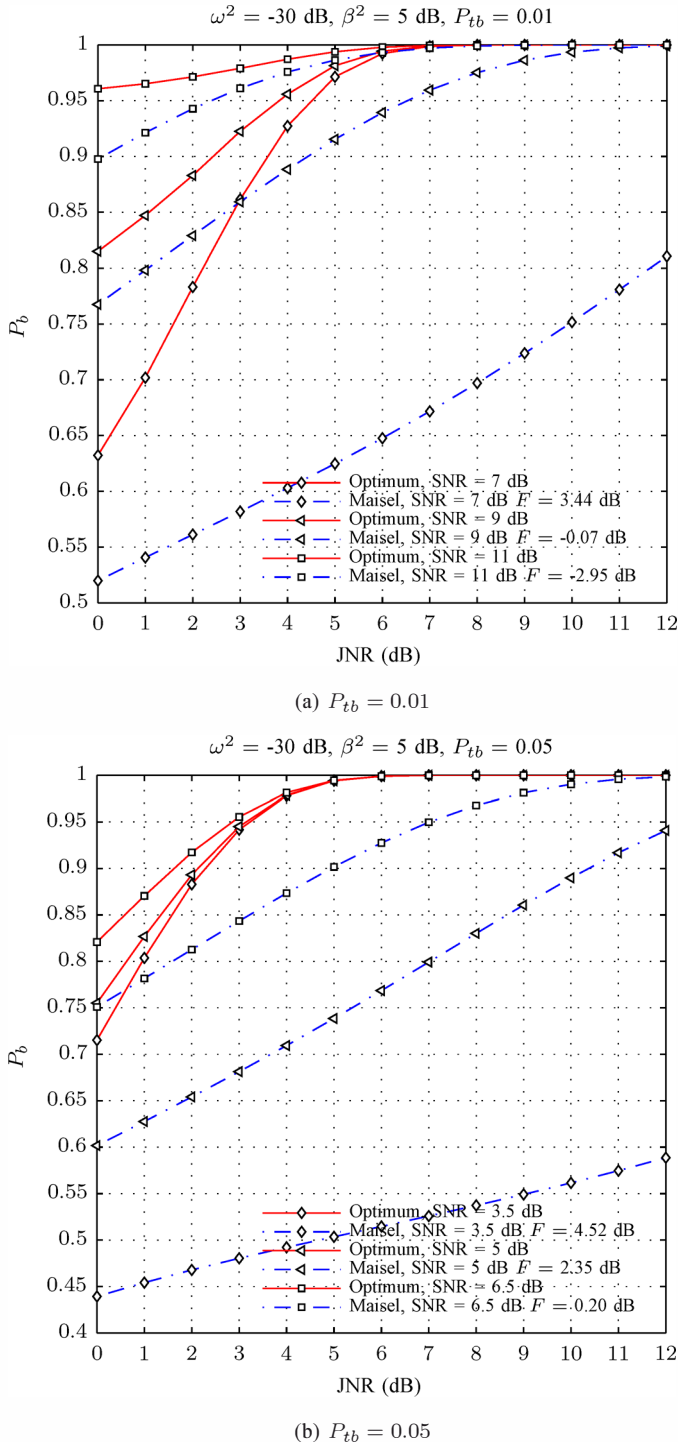
(b)  $P_{tb} = 0.1$

Şekil 6. Swerling-1 hedefler için  $P_b$ 'nin JNR'a göre değişimi. Parametreler:  $\beta^2 = 5$  dB,  $\omega^2 = -30$  dB.

$$a_o = |\tilde{a}|$$

$$f(a_0) = \frac{8a_0^3}{\sigma_a^4} \exp\left(-\frac{a_0^2}{\sigma_a^2}\right) \quad a_0 \geq 0. \quad (13)$$

şeklinde dağılıma sahiptir. Hedef sinyalinin ortalama gücü  $E[a_0^2] = \sigma_a^2$  olarak verilmekte, fakat eşfazlı ve dikfazlı bileşenleri Swerling-1 modelinde olduğu gibi Gauss dağılımlı olmamaktadır.



Şekil 7. Swerling-0 hedefler için  $P_b$ 'nin JNR'a göre değişimi. Parametreler:  $\beta^2 = 5 \text{ dB}$ ,  $\omega^2 = -30 \text{ dB}$ , Monte Carlo deneme sayısı =  $10^6$ .

Bu model için olabilirlik oran testi

$$\Lambda_3(\tilde{r}, \tilde{s}) = K_3 \exp \left( \mathbf{x}^H (\mathbf{C}_1^{-1} - \mathbf{C}_2^{-1}) \mathbf{x} \right) \quad (14)$$

$$\times \left( \frac{1 + \mathbf{x}^H (-\mathbf{C}_2^{-1} + \mathbf{I}) \mathbf{x}}{1 + \mathbf{x}^H (-\mathbf{C}_1^{-1} + \mathbf{I}) \mathbf{x}} \right).$$

şeklinde bulunmaktadır. Burada  $K_3$ , dataya bağlı olmayan çarpandır. Ardından testin logaritması alınıp dataya bağlı ol-

mayan çarpanlar eşik seviyesine gömülüdüğü zaman aşağıda verilen test elde edilir:

$$d_3 = \mathbf{x}^H (\mathbf{C}_1^{-1} - \mathbf{C}_2^{-1}) \mathbf{x}$$

$$+ \log \left( \frac{1 + \mathbf{x}^H (-\mathbf{C}_2^{-1} + \mathbf{I}) \mathbf{x}}{1 + \mathbf{x}^H (-\mathbf{C}_1^{-1} + \mathbf{I}) \mathbf{x}} \right) \frac{H_2}{H_1} \geq \eta_3. \quad (15)$$

Bu testin gerçeklenebilmesi için  $d_3$  istatistikinin bulunması gerekmektedir. Ancak bu işlem analitik olarak zor olduğundan Swerling-0 modelinde olduğu gibi Monte Carlo yöntemine başvurularak performans değerlendirmesi yapılabilir. Burada benzer performans sonucunun çıkması beklenmekte, ancak hedef sinyal büyülüğu Swerling-1 modeline göre daha az değişim gösterdiğinde aynı hedef körelteme olasılığına Swerling-1 modeline göre daha düşük JNR'da ulaşılması beklenmektedir.

## V. SONUÇ

Bu çalışmanın amacı geleneksel Maisel YKK sisteminin performansını gerekçelemektir. Bu amaçla, optimum YKK sezimleyici Swerling-1, Swerling-0 ve Swerling-3 hedef modelleri için oluşturulmuş, Swerling-1 modeli için analitik olarak bulunmuş, diğer hedef modellerinden Swerling-0 hedef modeli için Monte Carlo yöntemi ile optimum YKK sezimleyicisinin Maisel YKK sistemi ile performans kıyaslaması yapılmıştır. Optimum sezimleyici radar tarafında genel olarak bilinmeyen SNR ve JNR değerlerine bağlıdır. Bu durum optimum YKK sezimleyicisinin gerçek zamanlı olarak gerçeklenebilmesini zor kılmaktadır. Bu çalışmadaki ana amaç hedef ve karıştırıcıda ilave bilgileri kullanmayan Maisel yapısı ile bahse konu bilgileri kullanan optimum sezimleyici arasındaki performans farkını ortaya koymaktır.

Sayısal sonuçlar Maisel yapısının eşik seviyesi olan  $F$  değerinin  $\beta^2$ den yeterince küçük olduğu durumda optimum sezimleyiciye performans olarak oldukça yakını olduğunu ortaya koymaktadır.

Optimum YKK sisteminin radar hedef tespit olasılığındaki etkisi, Maisel YKK sistemlerinin tasarımasına katkıda bulunabilecek önerilerin olgunlaştırılması ve Swerling-3 hedef modeli için performans kıyasamasının yapılması gelecekte yapılabilecek olası çalışmalar arasında yer almaktadır.

## KAYNAKÇA

- [1] L. Maisel, "Performance of sidelobe blanking systems," *IEEE Trans. Aerosp. Electron. Syst.*, vol. AES-4, no. 2, pp. 174–180, 1968.
- [2] A. Farina, *Antenna-based Signal Processing Techniques For Radar Systems*. Artech House Boston, 1992. [Online]. Available: <http://nla.gov.au/nla.cat-vn2232434>
- [3] A. Farina and F. Gini, "Calculation of blanking probability for the sidelobe blanking for two interference statistical models," *IEEE Signal Process. Lett.*, vol. 5, no. 4, pp. 98–100, 1998.
- [4] H. Finn, R. S. Johnson, and P. Z. Peebles, "Fluctuating target detection in clutter using sidelobe blanking logic," *IEEE Trans. Aerosp. Electron. Syst.*, vol. AES-7, no. 1, pp. 147–159, 1971.
- [5] H. L. Van Trees, *Detection, Estimation, and Modulation Theory: Radar-Sonar Signal Processing and Gaussian Signals in Noise*, 1st ed. John Wiley & Sons, Inc., 2002, vol. 3, ch. 9, pp. 238–274.
- [6] ———, *Detection, Estimation, and Modulation Theory*, 1st ed. John Wiley & Sons, Inc., 2001, vol. 1.

- [7] K. Biyari and W. Lindsey, "Statistical distributions of Hermitian quadratic forms in complex Gaussian variables," *IEEE Trans. Inf. Theory*, vol. 39, no. 3, pp. 1076–1082, 1993.
- [8] P. Bello and B. D. Nelin, "Pредetection diversity combining with selectively fading channels," *IEEE Trans. Commun.*, vol. 10, no. 1, pp. 32–42, 1962.
- [9] U. Fernández-Plazaola, E. Martos-Naya, J. F. Paris, and J. T. Entrambasaguas, "Comments on Proakis analysis of the characteristic function of complex Gaussian quadratic forms," *Computer Research Repository (CoRR)*, vol. abs/1212.0382, 2012.
- [10] J. Proakis, "On the probability of error for multichannel reception of binary signals," *IEEE Trans. Commun. Technol.*, vol. 16, no. 1, pp. 68–71, 1968.